

ارائه یک روش فرا ابتکاری مؤثر برای زمان‌بندی پروژه با حالت‌های چندگانه*

محمدحسن سبط^(۱) محمدرضا افشار^(۲) یعقوب علیپوری^(۳)

چکیده در این مقاله، الگوریتم دسته‌ی پرندگان کاملاً آگاه (FIPS) برای حل مسأله‌ی زمان‌بندی پروژه، تحت محدودیت منابع و محدودیت‌های پیش‌نیازی در حالت چندگانه (MRCPSP)، با هدف حداقل نمودن زمان پروژه پیشنهاد شده‌است. در FIPS پیشنهادی، روش نمایش کلید تصادفی و روش نمایش لیست حالات اجرایی مربوط در جهت کدگذاری استفاده می‌گردد و برای رمزگشایی نیز، از روش تولید زمان‌بندی سری چندحالتی، کمک گرفته خواهد شد. به‌ویژه، تابع تناسب جدیدی برای کاهش زمان محاسبات برنامه و انحراف متوسط ارائه می‌شود. مجموعه‌های پایه و شناخته‌شده‌ی کتابخانه مسائل زمان‌بندی پروژه‌ها (PSPLIB) به منظور آزمایش الگوریتم FIPS پیشنهادی به‌کار گرفته شده‌اند که نتایج محاسباتی حاصل از آن و مقایسات انجام شده، کارآمدی الگوریتم پیشنهادی را نشان می‌دهد.

واژه‌های کلیدی زمان‌بندی پروژه‌ها در حالت چندگانه، محدودیت منابع، الگوریتم دسته‌ی پرندگان کاملاً آگاه، روش نمایش کلید تصادفی.

An Efficient Meta-heuristic Algorithm for Project Scheduling With Multiple Modes

M. H. Seb M. R. Afshar Y. Alipouri

Abstract In this paper, a Fully Informed Particle Swarm (FIPS) algorithm is proposed for solving the Multi-mode Resource-Constrained Project Scheduling Problem (MRCPSP) with minimization of project makespan as the objective subject to resource and precedence constraints. In the proposed FIPS, A random key and the related mode list (ML) representation scheme are used as encoding schemes and the multi-mode serial schedule generation scheme (MSSGS) is considered as the decoding procedure. In particular, a new fitness function which reduces the average deviation from optimality and CPU-time is presented. Comparing the results of the proposed FIPS with other approaches using the well-known benchmark sets in PSPLIB validate the effectiveness of the proposed algorithm to solve the MRCPSP.

Keywords Multi-mode Resource Constrained Project Scheduling Problem, Precedence Constraints, Resource Constraints, Fully Informed Particle Swarm (FIPS) Algorithm, Random Key Representation.

★ تاریخ دریافت مقاله ۹۲/۷/۲ و تاریخ پذیرش آن ۹۴/۱/۲۶ می‌باشد.

(۱) نویسنده‌ی مسئول، دانشیار، دانشکده‌ی مهندسی عمران و محیط زیست، دانشگاه صنعتی امیرکبیر.

(۲) کارشناس ارشد مهندسی و مدیریت ساخت، دانشکده‌ی مهندسی عمران و محیط زیست، دانشگاه صنعتی امیرکبیر.

(۳) دانشجوی دکتری مهندسی و مدیریت ساخت، دانشکده‌ی مهندسی عمران و محیط زیست، دانشگاه صنعتی امیرکبیر.

مقدمه

در زمان‌بندی پروژه به روش مسیر بحرانی (CPM) محدودیت منابع به‌وضوح در نظر گرفته نمی‌شود؛ لذا، یک فعالیت در آن می‌تواند بعد از اتمام فعالیت‌های پیش‌نیازی خود آغاز شود. این در حالی است که می‌دانیم وجود محدودیت منابع در تخصیص منابع و زمان‌بندی پروژه اثرگذار است [1]. این موضوع، زمینه‌ساز ایجاد مسأله‌ی زمان‌بندی پروژه با محدودیت منابع (RCPSP) گردید. هدف RCPSP حداقل نمودن زمان پروژه با در نظر گرفتن محدودیت منابع و محدودیت‌های پیش‌نیازی می‌باشد. در RCPSP کلاسیک برای هر فعالیت یک حالت اجرایی با زمان و منابع ثابت در نظر گرفته می‌شود. با توجه به وجود محدودیت منابع، چنین شرایطی (یعنی وجود فقط یک حالت اجرایی برای هر فعالیت) ممکن است سبب تأخیر فعالیت‌ها و بیکاری منابع گردد [2]؛ لذا، در شرایط عملی، در تقسیم منابع محدود بین فعالیت‌های متعدد، برای هر فعالیت چندین حالت اجرایی با زمان و مقداری متفاوت از منابع در نظر گرفته می‌شود، که برای زمان‌بندی آن بایستی از مسأله‌ی زمان‌بندی پروژه با محدودیت منابع در حالت چندگانه (MRCPSP) استفاده نمود. MRCPSP در صنعت ساخت بسیار کاربردی می‌باشد. برای مثال، به‌منظور انجام فعالیت‌هایی نظیر بتن‌ریزی یا آروماتوربافی ممکن است به تجهیزات یا کارگران یکسان در یک زمان نیاز داشته باشیم. در ضمن بعضی از فعالیت‌های ساخت نظیر فعالیت‌های یکسان برای طبقات مختلف در ساختمان‌های بلندمرتبه، عملیاتی تکراری می‌باشند که ممکن است به‌طور هم‌زمان آغاز شده و به تجهیزات و کارگران یکسان نیاز داشته باشند. در این موارد با توجه به ناکافی بودن منابع مورد نیاز در یک زمان، ترکیبات مختلفی از مقدار منابع، به‌منظور شروع این فعالیت‌ها در نظر گرفته می‌شود، که هر ترکیب یک حالت اجرایی نامیده می‌شود و زمان مربوط به خود را دارا می‌باشد [2].

هدف از حل MRCPSP یافتن یک حالت اجرایی و یک زمان شروع برای هر فعالیت به‌گونه‌ای است که زمان پروژه حداقل گردد و محدودیت‌های پیش‌نیازی و منابع رعایت گردند. سه روش دقیق، ابتکاری و فرا ابتکاری برای حل MRCPSP وجود دارد که روش‌های فرا ابتکاری بهترین روش‌های موجود می‌باشند [3] و [4]. در ادبیات موضوع، روش‌های فرا ابتکاری زیادی برای حل MRCPSP به‌کار گرفته شده‌اند [7-12]. یکی از تکنیک‌های جدید بهینه‌سازی شبیه‌سازی رفتار گروهی مخلوقات طبیعی است که PSO یکی از آنهاست. کندی و ابره‌ارت PSO را به‌کمک شبیه‌سازی هجوم پرندگان پیشنهاد نمودند. هدف این هجوم یافتن غذا می‌باشد که یک تابع هدف خاص را بهینه‌سازی می‌نماید [13]. یکی از مؤثرترین الگوریتم‌های بهینه‌سازی دسته‌ی پرندگان که تاکنون ارائه شده‌است، دسته‌ی پرندگان کاملاً آگاه (FISP) می‌باشد. در این مقاله الگوریتم FIPS مؤثری برای حل MRCPSP پیشنهاد می‌شود.

توصیف مسأله

عموماً مسأله‌ی MRCPSP به این صورت بیان می‌شود که در MRCPSP، هر پروژه $J+2$ فعالیت دارد و برای هر فعالیت چندین حالت اجرا با زمان و منابع مشخص پیش‌بینی می‌شود. یک فعالیت j ($j=0, \dots, J+1$) که در حالت اجرایی m ($m=1, \dots, M_j$) آغاز می‌شود باید در همان حالت اجرایی و بدون جدایش پایان پذیرد [14]. فعالیت‌های شروع و پایان پروژه، فعالیت‌های مجازی با زمان صفر و بدون احتیاج به منابع در نظر گرفته می‌شوند. این فعالیت‌ها به‌ترتیب 0 و $J+1$ امین فعالیت پروژه می‌باشند. بین بعضی از فعالیت‌ها روابط پیش‌نیازی وجود دارد. در این پژوهش، این روابط از نوع پایان-شروع و بدون وقفه در نظر گرفته شده‌اند. برای هر پروژه، دو دسته از منابع که شامل منابع تجدیدپذیر و ناپذیر می‌باشد در نظر گرفته می‌شود، که موجودیت منبع تجدیدپذیر k ($k=1, \dots, R$) و موجودیت

بهترین راه حل یافت شده تا تکرار t به وسیله ذره i می باشد (p_k ذره ای در همسایگی ذره i است) و X_i^t جایگاه فعلی ذره i در تکرار t را نمایش می دهد. همان طور که در معادله (۱) مشاهده می شود قانون به روزرسانی سرعت شامل دو نوع بردار می باشد. بردار اول، سرعت قبلی ذره را نمایش می دهد که وظیفه ای آن، ایجاد تنوع در فضای جستجو می باشد. این تنوع بایستی کنترل شود، برای این منظور، در این مقاله، ممان اینرسی کاهش داده شده است که در بردار اول قانون به روزرسانی سرعت ضرب می شود (رابطه ۲).

$$w^t = \frac{w_{\max}^t - t}{w_{\max}^t} (w_{\max} - w_{\min}) + w_{\min} \quad (۳)$$

در معادله (۳)، w_{\max} وزن اولیه، w_{\min} وزن نهایی، w_{\max}^t حداکثر تکرار الگوریتم و t تعداد تکرار فعلی را نمایش می دهد.

به کمک بردار دوم، هر ذره تلاش می کند تا به بهترین موقعیت همسایه هایش هم گرا شود. در این بردار، برای هر ذره ϕ_i ، ϕ مطابق معادله (۴) توزیع می شود.

$$\phi_m = \frac{\phi}{N_i} \quad \forall p_m \in N_i \quad (۴)$$

که N_i مجموعه افرادی هستند که در همسایگی ذره i تعریف شده اند. ارتباطات همسایگی توسط مفهوم توپولوژی جمعیت تعریف می شود که با توجه به نوع توپولوژی، به وسیله ی گراف دیکته می شود. شایان ذکر است که این ارتباطات مستقل از جایگاه های تعریف شده به وسیله ی ذرات هستند.

مندز و همکاران پنج توپولوژی مختلف را در قانون به روزرسانی سرعت FIPS مورد آزمایش قرار دادند و نشان دادند که در توپولوژی با ارتباط کمتر، FIPS عملکرد بهتری از خود نمایش می دهد.

هم چنین مارکو و استاتزل در سال ۲۰۰۸ نشان دادند که وقتی از توپولوژی با ارتباط کامل استفاده می شود، ناحیه ی جستجو نزدیک مرکز جرم دسته قرار می گیرد [15] و [16]. این مسأله سبب می شود تا

منبع تجدیدنپذیر l ($l=1, \dots, N$) به ترتیب R_k و N_l می باشند. اگر فعالیت z با حالت اجرایی m انجام شود زمان، مقدار منابع تجدیدنپذیر مورد نیاز آن از نوع k و مقدار منابع تجدیدنپذیر مورد نیاز آن از نوع l به ترتیب با d_{jm} ، Γ_{jmk} و Π_{jml} نمایش داده می شود. هدف MRCPSP، تحت شرایط عنوان شده، اختصاص یک زمان شروع و یک حالت اجرایی به هر فعالیت است به گونه ای که زمان پروژه حداقل گردد.

الگوریتم دسته ی پرندگان کاملاً آگاه

الگوریتم دسته ی پرندگان کاملاً آگاه به وسیله ی مندز و همکاران در سال ۲۰۰۴ ارائه شد. استراتژی FIPS و PSO متداول برای یافتن غذا متفاوت می باشد. در FIPS، یک ذره از اطلاعات همه ی همسایه هایش استفاده می نماید، در حالی که در PSO متعارف، آن ذره فقط از اطلاعات بهترین ذره در همسایگی اش استفاده می نماید [15]. چهارچوب عمومی FIPS بدین صورت است که یک ذره در فضای n بعدی در نظر گرفته می شود (در PSO هر راه حل یک ذره نامیده می شود). در این فضا، جایگاه هر ذره i در تکرار t با $V_i^t = \{V_{i1}^t, V_{i2}^t, \dots, V_{in}^t\}$ و هم چنین سرعتش با $X_i^t = \{X_{i1}^t, X_{i2}^t, \dots, X_{in}^t\}$ نمایش داده می شود. پس از تولید شرایط اولیه برای هر ذره (شامل نقطه ی جستجو و سرعت اولیه) جایگاه آن ذره از یک تکرار به تکرار بعد، براساس معادلات (۱) و (۲) به روزرسانی می شود.

$$V_i^{t+1} = V_i^t + \sum_{pm \in N_i} \phi_k U_k^t (pb_k^t - X_i^t) \quad (۱)$$

$$X_i^{t+1} = X_i^t + V_i^{t+1} \quad (۲)$$

که V_i^t سرعت ذره i در تکرار t را نمایش می دهد، ϕ_k مجموع ضرایب شتاب است که به طور یکنواخت در بین همسایه های یک ذره توزیع شده است، U_k^t برداری به طول راه حل می باشد که اعدادش به طور تصادفی در بازه ی صفر و یک تولید می شوند (این بردار در هر تکرار تولید می شود). pb_k^t جایگاه

فعالیت‌ها به ترتیب با $X_i^t = \{x_{i1}^t, x_{i2}^t, \dots, x_{in}^t\}$ و $V_i^t = \{v_{i1}^t, v_{i2}^t, \dots, v_{in}^t\}$ نمایش داده می‌شود. به‌طور مشابه جایگاه و سرعت ذره‌ی i مربوط به لیست حالت اجرایی به ترتیب با $M_i^t = \{m_{i1}^t, \dots, m_{in}^t\}$ و $VM_i^t = \{vm_{i1}^t, \dots, vm_{in}^t\}$ نمایش داده می‌شود. به‌منظور ساده‌سازی در این پژوهش، هر ذره‌ی i با دو بردار λ و $\mu = (\lambda, \mu)$ نمایش داده می‌شود که λ و μ به ترتیب RK و ML می‌باشند.

تولید شرایط اولیه (جایگاه‌ها و سرعت‌ها)

تولید تصادفی جمعیت اولیه، به فضای جستجو تنوع می‌بخشد و به یافتن مناطق امیدوارکننده کمک می‌نماید. بنابراین در این پژوهش جایگاه‌های اولیه‌ی هر ذره‌ی i مربوط به RK و ML به‌طور تصادفی و به ترتیب در بازه‌ی $[0, 1]$ و $[1, M_i]$ ایجاد می‌شوند (M_i شمار حالت‌های اجرایی که برای فعالیت i در نظر گرفته شده، می‌باشد). در فرآیند تکامل جمعیت، اگر هر مؤلفه از جایگاه‌ها، کوچک‌تر از حد پایین مرزی و بزرگ‌تر از حد بالای مرزی مربوط شوند؛ آن‌گاه، آن مقدار به نزدیک‌ترین مقدار مرزی تغییر می‌یابد. به‌علاوه، اگر مقادیر اعشاری جهت هر یک از مؤلفه‌های ML به‌دست آید از آن جزء صحیح گرفته می‌شود.

مقادیر اولیه‌ی بردارهای سرعت مربوط به RK و ML به‌طور تصادفی در بازه‌ی $[-V_{max}, V_{max}]$ تولید می‌شوند که V_{max} حداکثر مقداری است که می‌توان به هر مؤلفه‌ی سرعت اختصاص یابد.

تابع تناسب

ارزیابی یک کروموزوم برای تکامل یک جمعیت توسط تابع تناسب انجام می‌شود. در ادبیات MRCPSP تاکنون چندین تابع تناسب تعریف شده‌اند که تابع تناسب لوا و همکاران آخرین آنها می‌باشد (معادله‌ی ۱) [7]. در این تابع تناسب راه‌حل‌های نشدنی با $ERR(\mu)$ مجازات می‌شوند.

احتمال هم‌گرایی به نقطه‌ی بهینه محلی افزایش یابد. از طرفی دیگر، ایشان نشان دادند که در ارتباط توپولوژیکی کمتر به دلیل جستجوی هم‌زمان در نواحی مختلف، احتمال یافتن راه حل بهینه‌ی جهانی افزایش می‌یابد. از این‌رو، براساس ملاحظات عنوان‌شده، در مطالعه‌ی حاضر از توپولوژی حلقه استفاده می‌شود.

روش نمایش راه حل‌ها (کدگذاری)

در ادبیات RCPSPP روش نمایش کلید تصادفی و لیست تقدم از محبوبیت بیشتری برخوردارند. در روش نمایش لیست تقدم، جایگاه هر فعالیت اولویت نسبی آن‌را برای زمان‌بندی تعیین می‌نماید، اما در روش نمایش کلید تصادفی، مقادیر اولویت، این وظیفه را تقبل می‌نمایند. برخلاف روش نمایش توالی فعالیت‌ها (AL)، در روش نمایش کلید تصادفی (RK) همه‌ی افراد یک زمان‌بندی پیش‌نیازی شدنی را نشان می‌دهند و همه‌ی مسائل مرتبط با شدنی شدن پیش‌نیازی به قسمت ارزیابی تابع تناسب انتقال می‌یابد. بنابراین، در این پژوهش تصمیم گرفته شد، تا از شیوه‌ی نمایش کلید تصادفی، برای تعیین اولویت فعالیت‌ها برای زمان‌بندی استفاده شود. هم‌چنین برای اختصاص حالت‌های اجرایی به هر یک از فعالیت‌ها، از لیست حالت‌های اجرایی (ML) کمک گرفته شد؛ از این‌رو، روش نمایش مطابق زیر بیان می‌شود:

دو جایگاه مستقل برای هر ذره در دو فضای n بعدی متفاوت در نظر گرفته می‌شود، فضای اول برای یافتن ترکیب بهینه‌ی اولویت فعالیت‌ها و فضای دوم برای یافتن ترکیب بهینه‌ی حالت‌های اجرایی به‌کار گرفته می‌شود. برای این منظور در فضای اول، جایگاه اول هر ذره، اولویت فعالیت‌ها را برای زمان‌بندی تعیین می‌نماید و در فضای دوم، جایگاه دوم هر ذره، لیست حالت اجرایی مرتبط را نمایش می‌دهد که در هر تکرار براساس معادلات (۱) و (۲) به‌صورت هم‌زمان به‌روز می‌شوند.

جایگاه و سرعت ذره‌ی i مربوط به اولویت

$$f(I) = \begin{cases} 1 - \frac{T - \text{mak}(I)}{T}, & \text{if } \text{ERR}(\mu) = 0 \\ 1 + \frac{\text{mak}(I)}{T} + \text{ERR}(\mu), & \text{otherwise} \end{cases} \quad (7)$$

که در این رابطه، T جمع بیشترین زمان همه‌ی فعالیت‌هاست و سایر پارامترها همانند رابطه‌ی (۵) می‌باشند. انتظار می‌رود که زمان محاسبات مربوط به تابع تناسب پیشنهادی نسبت به تابع تناسب لوا و همکاران (۲۰۰۹) کمتر باشد؛ چرا که از طرفی تعداد محاسبات تابع تناسب پیشنهادی یکی کمتر از تابع تناسب لوا و همکاران می‌باشد و از طرف دیگر زمان محاسبات min_CP بیشتر از T می‌باشد.

در ادامه‌ی این بخش از انحراف متوسط و زمان محاسبات برنامه برای اثبات برتری تابع تناسب پیشنهادی استفاده می‌شود. برای این منظور نمونه‌های استاندارد J10، J12، J14، J16، J18 و J20 از کتابخانه‌ی مسائل زمان‌بندی پروژه‌ها انتخاب شده‌اند. معیار توقف لحاظ شده، ۵۰۰۰ زمان‌بندی تولیدی می‌باشد.

همان‌طور که انتظار می‌رفت و جدول (۱) نیز نشان می‌دهد، زمان اجرای برنامه با استفاده از تابع تناسب پیشنهادی کوچک‌تر و یا مساوی، نسبت به زمانی است که از تابع تناسب لوا و همکاران استفاده می‌شود. به‌علاوه انحراف متوسط‌های به‌دست آمده نشان می‌دهد که در همه‌ی موارد (به‌جز J16) تابع تناسب پیشنهادی این پژوهش، عملکرد بهتری نسبت به تابع تناسب لوا و همکاران (۲۰۰۹) و در نتیجه، عملکرد بهتری نسبت به همه‌ی توابع تناسب پیشنهادی در ادبیات موضوع دارد.

جدول ۱ عملکرد توابع تناسب (معیار توقف لحاظ شده ۵۰۰۰ زمان‌بندی تولیدی می‌باشد)

J10	J12	J14	J16	J18	J20	تابع تناسب	
۰/۰۶	۰/۱۷	۰/۳۰	۰/۳۸	۰/۴۸	۰/۶۶	پژوهش حاضر	انحراف متوسط (%)
۰/۰۶	۰/۱۷	۰/۳۰	۰/۳۷	۰/۴۸	۰/۶۷	لوا و همکاران	
۹۵	۸۷	۷۸	۷۲	۷۰	۶۴	پژوهش حاضر	نرخ بهینه (%)
۹۵	۸۷	۷۸	۷۲	۷۰	۶۴	لوا و همکاران	
۰/۰۷	۰/۱۱	۰/۱۴	۰/۱۵	۰/۱۶	۰/۱۷	پژوهش حاضر	زمان اجرا (ثانیه)
۰/۰۶	۰/۱۱	۰/۱۴	۰/۱۶	۰/۱۷	۰/۱۸	لوا و همکاران	

$$f(i) = \begin{cases} 1 - \frac{\text{max_mak}(P) - \text{mak}(i)}{\text{max_mak}(P)}, & \text{if } \text{ERR}(\mu) = 0 \\ 1 + \frac{\text{mak}(i) - \text{min_CP}}{\text{mak}(i)} + \text{ERR}(\mu), & \text{otherwise} \end{cases} \quad (5)$$

$$\text{ERR}(\mu) = \sum_{I=1}^N \max \left\{ 0, \frac{\sum_{j=1}^J n_{jml} - N_I}{N_I} \right\} \quad (6)$$

که در این رابطه، mak(i) زمان پروژه‌ی مربوط به راه حل i می‌باشد، max_mak(P) بیشترین زمان پروژه‌ی مربوط به افراد جمعیت جاری می‌باشد، min_CP مسیر بحرانی پروژه است که با توجه به حداقل زمان هر یک از فعالیت‌ها محاسبه می‌شود و ERR(μ) درجه‌ی نشدنی بودن راه حل i را نمایش می‌دهد. شایان ذکر است که ERR(μ) با توجه به رابطه‌ی (۶) محاسبه می‌شود.

لوا و همکاران (۲۰۰۹) اثبات کردند که در شرایط یکسان محاسباتی، تابع تناسب پیشنهادی ایشان، در مقابل سایر توابع تناسب ادبیات موضوع، انحراف متوسط بهتری دارد [7]. به هر جهت، واضح است که با توجه به محاسبه‌ی مسیر بحرانی شبکه‌ی پروژه در تابع تناسب لوا و همکاران (۲۰۰۹)، زمان محاسبات برنامه افزایش خواهد یافت. لذا، در این پژوهش، تابع تناسب زیر (معادله‌ی ۷) جهت رفع این نقص ارائه می‌شود.

پس‌روی چندحالتی را (MM-FBI) (که در ادامه توصیف می‌شود) خواهند داشت. فرآیند مقابله با راه حل‌های شدنی در MM-FBI شرح داده خواهد شد.

فرآیند تکرار پیش‌رو- پس‌روی چند حالتی (MM-FBI)
 در RCPSP تکرار پیش‌رو-پس‌رو (FBI) یک تکنیک مؤثر برای بهبود کیفیت راه حل‌ها می‌باشد [18]. این ایده، به وسیله‌ی لوا و همکاران (۲۰۰۹) برای MRCPSP به نام فرآیند تکرار پیش‌رو- پس‌روی چندحالتی (MM-FBI) گسترش یافت [7]. این روش با استفاده از فرآیند بهبود حالت اجرایی، زمان پایان هر فعالیت را در هر نقطه‌ی تصمیم از زمان‌بندی جزئی، بدون تغییر حالات اجرایی و تأخیر سایر فعالیت‌ها، کاهش می‌دهد [11].

نقطه‌ضعف فرآیند MM-FBI این است که فعالیت‌هایی که زودتر زمان‌بندی می‌شوند شانس بیشتری برای استفاده از منابع تجدیدناپذیر دارند. برای غلبه بر این نقطه‌ضعف، در ادبیات موضوع فرآیند بهبود حالت اجرایی به‌طور تصادفی فقط به برخی از فعالیت‌ها اعمال می‌شود. در این فرآیند ابتدا برای تک‌تک فعالیت‌های یک راه حل یک عدد تصادفی بین صفر و یک تولید می‌شود. اگر عدد تصادفی مربوط به هر فعالیت از یک مرز (SGS_Pper) که معمولاً ۰/۷ در نظر گرفته می‌شود) کمتر شود فرآیند بهبود حالت اجرایی به آن فعالیت اعمال می‌شود. بدین ترتیب به ۷۰ درصد فعالیت‌ها (در $SGS_Pper=0.7$) این فرآیند اعمال خواهد شد. برای روشن‌تر شدن مسأله به مثال زیر توجه نمایید.

برای مثال یک پروژه با یازده فعالیت (شامل دو فعالیت مجازی)، یک نوع منبع تجدیدپذیر و یک نوع منبع تجدیدناپذیر را در نظر بگیرید. در این پروژه هر فعالیت دو حالت اجرایی دارد. فعالیت‌های شروع و پایان، فعالیت‌های مجازی با یک حالت اجرایی، زمان صفر و بدون احتیاج به منابع می‌باشند. در پروژه‌ی مذکور موجودیت منابع تجدیدپذیر و ناپذیر به ترتیب ۲

روش تولید زمان‌بندی (فرآیند رمزگشایی)

روش تولید زمان‌بندی یک روش مؤثر برای تبدیل یک راه حل RCPSP به زمان‌بندی می‌باشد. در ادبیات موضوع، دو نوع روش تولید زمان‌بندی وجود دارد: روش تولید زمان‌بندی سری و روش تولید زمان‌بندی موازی.

از آن‌جا که کولیش اثبات نمود که با استفاده از روش تولید زمان‌بندی موازی، گاهی اوقات رسیدن به جواب بهینه غیرممکن است، در این پژوهش از روش تولید زمان‌بندی سری استفاده می‌شود [17]. در MRCPSP به دلیل وجود منابع تجدیدناپذیر، روش تولید زمان‌بندی سری بایستی اصلاح شود. در واقع، دو مسأله‌ی مهم بایستی در نظر گرفته شوند: نخست، تبدیل راه حل‌های نشدنی به شدنی تا جایی که ممکن باشد و دوم، استفاده کامل از منابع تجدیدناپذیر در راه حل‌های شدنی. به منظور پیاده‌سازی این دو هدف، از فرآیند مقابله با راه حل‌های نشدنی و نشدنی کمک گرفته می‌شود. این فرآیندها روش تولید زمان‌بندی سری را به روش تولید زمان‌بندی سری چندحالتی (MSSGS) گسترش می‌دهند.

فرآیند مقابله با راه حل‌های نشدنی. در مواجهه با راه حل‌های نشدنی، بهترین تکنیک کاربرد فرآیند ترمیم برای بهبود برخی از آنها می‌باشد [13]. از این‌رو، در این مقاله بعد از تولید جمعیت اولیه، فرآیند مقابله با راه حل‌های نشدنی برای تبدیل راه حل‌های نشدنی به شدنی آغاز می‌شود. این فرآیند به هر کدام از راه حل‌های نشدنی به‌طور جداگانه اعمال می‌شود. در این فرآیند یک فعالیت به‌طور تصادفی انتخاب می‌شود و حالت اجرایی آن به حالت اجرایی جدیدی تغییر می‌یابد؛ اگر با این تغییر ERR کاهش یافت، حالت اجرایی جدید جایگزین قبلی می‌شود. این فرآیند تا زمانی که به یک مقدار مشخص از پیش تعیین‌شده برسیم ادامه می‌یابد. پس از انجام فرآیند عنوان‌شده، فقط راه‌حل‌های شدنی اجازه‌ی ورود به تکرار پیش‌رو-

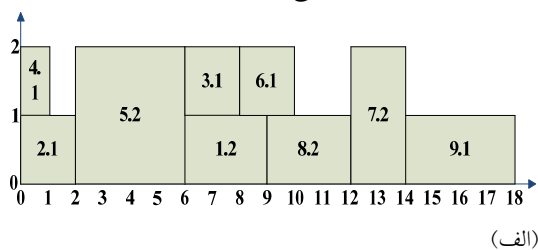
و ۲۸ می‌باشد. اطلاعات تکمیلی و محدودیت‌های پیش‌نیازی این پروژه به‌ترتیب در جدول (۲) و شکل (۱) قابل مشاهده می‌باشد.

جدول ۲ اطلاعات فعالیت‌های پروژه مثال MRCPS

شماره فعالیت	حالت اجرایی ۱			حالت اجرایی ۲		
	rj3k	nj3l	d3j	rj2k	nj2l	d2j
۱	۲	۴	۲	۱	۲	۳
۲	۱	۵	۱	۱	۲	۴
۳	۱	۳	۱	۱	۱	۳
۴	۱	۲	۱	۱	۱	۲
۵	۲	۵	۲	۲	۳	۴
۶	۲	۴	۱	۱	۳	۳
۷	۱	۲	۲	۲	۱	۲
۸	۱	۳	۲	۱	۲	۳
۹	۴	۳	۱	۱	۱	۶

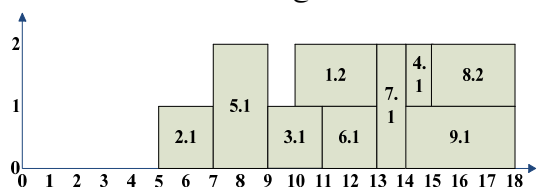
می‌باشد). MM-FBI با زمان‌بندی پس‌رو روی زمان‌بندی موجود آغاز می‌شود. برای این منظور، زمان پایان فعالیت‌ها در زمان‌بندی موجود به‌عنوان اولویت فعالیت‌ها در نظر گرفته می‌شود و فرآیند بهبود حالت اجرایی در طی تولید این زمان‌بندی اعمال می‌شود. فرض کنید که در راه حل بالا، فعالیت‌های ۵ و ۷ به‌طور تصادفی برای اعمال فرآیند بهبود حالت اجرایی در زمان‌بندی پس‌رو انتخاب می‌شوند. همان‌طور که در شکل «۲-ب» مشاهده می‌شود، فرآیند بهبود حالت اجرایی زمان انجام فعالیت ۵ را دو روز و زمان انجام فعالیت ۷ را یک روز کاهش می‌دهد. با این تغییرات میزان مصرف منبع تجدیدناپذیر از ۲۵ به ۲۸ (یعنی موجودیت منبع تجدیدناپذیر) افزایش می‌یابد.

میزان مصرف منابع تجدیدناپذیر = ۲۵ واحد



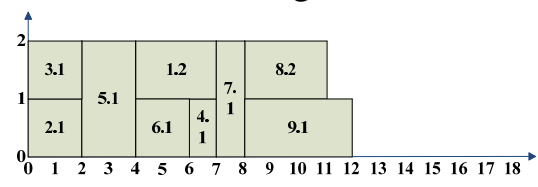
(الف)

میزان مصرف منابع تجدیدناپذیر = ۲۸ واحد



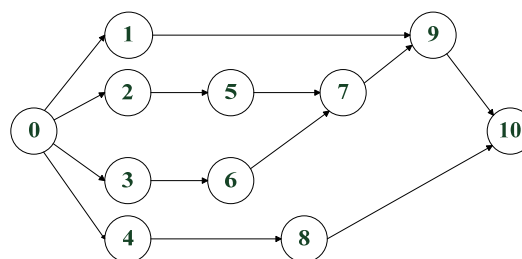
(ب)

میزان مصرف منابع تجدیدناپذیر = ۲۸ واحد



(ج)

شکل ۲ یک تکرار MM-FBI و میزان مصرف منبع تجدیدناپذیر (NRC؛ الف) زمان‌بندی موجود، ب) زمان‌بندی پس‌رو، ج) زمان‌بندی پیش‌رو



شکل ۱ شبکه پروژه برای مثال MRCPS

در این قسمت پژوهش، یک گام از MM-FBI پیاده‌سازی می‌شود. فرض کنید که لیست اولویت فعالیت‌ها (λ) و لیست حالات اجرایی (μ) یک راه حل شدنی برای پروژه‌ی فوق‌الذکر مطابق زیر باشد.

$$\lambda = (0, 0/65, 0/9, 0/55, 0/8, 0/75, 0/5, 0/4, 0/45, 0/35, 0)$$

$$\mu = (1, 1, 1, 2, 2, 1, 1, 2, 2, 1, 1)$$

گراف منابع مربوط به راه حل بالا، با استفاده از فرآیند SSGS در شکل «۲-الف» نمایش داده شده است (۳,۱) به‌معنای فعالیت ۳ با حالت اجرایی ۱

اجرای تعریف‌شده با زمان مشخصی بین ۱ تا ۱۰ واحد زمانی به اجرا درآید. هر نمونه شامل دو نوع منبع تجدیدپذیر و دو نوع منبع تجدیدنپذیر می‌باشد. برای همه‌ی مجموعه‌های عنوان شده، زمان بهینه‌ی نمونه‌های شدنی شناخته شده‌اند.

جدول ۳ نتایج آماری الگوریتم ژنتیک پیشنهادی برای حل مجموعه مسایل پایه (۵۰۰۰ زمان‌بندی تولید شده به‌عنوان معیار توقف لحاظ شده‌است)

مجموعه‌های پایه	راه حل‌های شدنی	انحراف متوسط (%)	نرخ بهینه (%)	زمان اجرای برنامه (ثانیه)
J10	۵۳۶	۰/۰۶	۹۵	۰/۰۷
J12	۵۴۷	۰/۱۷	۸۷	۰/۱۱
J14	۵۵۱	۰/۳۰	۷۸	۰/۱۴
J16	۵۵۰	۰/۳۸	۷۲	۰/۱۵
J18	۵۵۲	۰/۴۸	۷۰	۰/۱۶
J20	۵۵۴	۰/۶۶	۶۴	۰/۱۷

تنظیم پارامترها

بعد از انجام چند آزمایش، اندازه‌ی جمعیت اولیه 2J در نظر گرفته شد. سایر پارامترهای PSO مطابق آنچه در فرآیندهای PSO و FIPS توسط محققان مورد استفاده قرار گرفته بودند، تنظیم شدند. بر این اساس، در ممان اینرسی کاهنده، وزن اولیه ۰/۹ و وزن نهایی ۰/۴ لحاظ شد. ϕ ، 1/4 در نظر گرفته شد. مقدار SGS_Pper نیز ۰/۷ لحاظ شد.

مقایسه با سایر الگوریتم‌های موجود

نتایج آماری الگوریتم پیشنهادی در جدول (۳) نمایش داده شده‌است. انحراف متوسط از زمان بهینه، نرخ بهینه (درصد تعداد راه‌حلهایی که دقیقاً به جواب بهینه دست یافته‌اند) و زمان اجرای برنامه برای تولید یک زمان‌بندی (به ثانیه) برای مقایسه استفاده شده‌اند. برای مجموعه‌های J10-J20 مقادیر بهینه‌ی موجود در

یک تکرار MM-FBI با زمان‌بندی پیش‌رو تکمیل می‌شود. برای زمان‌بندی پیش‌رو، زمان آغاز فعالیت‌ها در زمان‌بندی پس‌رو، به‌عنوان اولویت فعالیت‌ها در نظر گرفته می‌شود. اگر موجودیت منبع تجدیدنپذیر به‌طور کامل استفاده نشده باشد، فرآیند بهبود حالت اجرایی در این جهت نیز اعمال می‌شود. در این مثال، چون موجودیت منبع تجدیدنپذیر، در فرآیند پس‌روی بالا به‌طور کامل استفاده شده‌است، فرآیند بهبود حالت اجرایی در فرآیند پیش‌رو اعمال نمی‌شود. پس از اتمام یک تکرار فرآیند MM-FBI زمان پروژه‌ی مثال فوق از ۱۸ به ۱۲ کاهش می‌یابد (شکل «۲-ج» را ببینید). شایان ذکر است که کارایی روش MM-FBI در کاهش زمان پروژه، توسط لوا و همکاران به اثبات رسیده است [7].

نتایج به‌دست آمده از الگوریتم FIPS پیشنهادی

در این بخش با استفاده از نتایج حاصل، عملکرد الگوریتم FIPS پیشنهادی برای حل MRCPSP مورد بررسی قرار می‌گیرد. الگوریتم FIPS پیشنهادی با استفاده از برنامه‌ی مطلب کدنویسی شد و آزمایش‌ها با معیار توقف ۵۰۰۰ زمان‌بندی تولیدی، بر روی کامپیوتر T9300 (پردازشگر ۲,۵ گیگا هرتز) صورت پذیرفت.

مجموعه‌های مشهور و پایه‌ی J10، J12، J14، J16، J18 و J20 که در <http://129.187.106.231/psplib/> موجود می‌باشند، برای آزمایش الگوریتم FIPS پیشنهادی مورد استفاده قرار گرفتند. این مجموعه‌ها، به‌ترتیب شامل ۱۰، ۱۲، ۱۴، ۱۶، ۱۸، و ۲۰ فعالیت غیرمجازی می‌باشند. هرکدام از این مجموعه‌ها ۶۴۰ نمونه دارند که برخی از آنها نشدنی می‌باشند. بنابراین، آنها از آزمایش‌های این پژوهش حذف شدند. ستون دوم جدول (۳) تعداد راه‌حل‌های شدنی هر مجموعه را نشان می‌دهد. در هر نمونه، یک فعالیت می‌تواند در یکی از سه حالت

شده است.

مقایسه‌ی مربوط به انحراف از متوسط در جدول (۴) انجام شده است. در این جدول، الگوریتم‌ها با توجه به عملکردشان رتبه‌بندی شده‌اند. همان‌طور که در جدول (۴) دیده می‌شود FIPS پیشنهادی در J10 و J14 رتبه‌ی سوم و در J12 رتبه‌ی چهارم را دارا می‌باشد و در مجموعه‌های J16 تا J20 بعد از VPVGA بهترین عملکرد را دارد. این مسأله نشان می‌دهد که الگوریتم پیشنهادی با افزایش پیچیدگی مسأله عملکرد بهتری از خود نمایش می‌دهد.

در جدول (۵) زمان اجرای برنامه برای تولید یک زمان‌بندی (CPU-time) در الگوریتم FIPS با مقدار مشابه سایر الگوریتم‌ها مقایسه شده است. در مجموعه‌ی J10، CPU-time الگوریتم FIPS بهترین است و در سایر مجموعه‌ها بعد از LHGA بهترین می‌باشد (البته به جز J12). دلیل برتری LHGA استفاده از کامپیوتری با قدرت پردازش بالاتر می‌باشد. بنابراین می‌توان نتیجه گرفت که سرعت FIPS مناسب و قابل قبول می‌باشد.

کتابخانه‌ی مسائل زمان‌بندی پروژه‌ها به‌عنوان پایه‌ای برای محاسبه‌ی انحراف متوسط در نظر گرفته شده‌اند. براساس ملاحظات عنوان‌شده، الگوریتم پیشنهادی، با بهترین الگوریتم‌های موجود در زمینه‌ی MRCPSP نظیر الگوریتم ژنتیک و سیستم هوش مصنوعی پتگم و ون‌هوک (۲۰۱۰ و ۲۰۰۹) که به ترتیب با VPVGA و VPVAIS نمایش داده می‌شوند [9]، [8]، EDA و SFLA ارائه‌شده به‌وسیله‌ی وانگ و فانگ (۲۰۱۲ و ۲۰۱۱) که به ترتیب با LCEDA و LCSFLA نمایش داده می‌شوند [12]، [11]، الگوریتم ژنتیک ترکیبی لوا و همکاران (۲۰۰۹) که با LHGA نمایش داده می‌شود [7]، الگوریتم تکاملی ترکیبی الومی و فرتمپس (۲۰۱۰) که با EFEA نمایش داده می‌شود [10]، جستجوی ترکیبی پراکنده‌ی رنجبر و همکاران (۲۰۰۹) که با RSS نمایش داده می‌شود [19]، الگوریتم ژنتیک ارائه‌شده توسط آلکارز و همکاران (۲۰۰۳) که با AGA نمایش داده می‌شود [20] و الگوریتم شبیه‌سازی تبرید جوزفسکا و همکاران (۲۰۰۱) که با JSA نمایش داده می‌شود [5]، مقایسه

جدول ۴ انحراف متوسط از راه حل بهینه (۵۰۰۰ زمان‌بندی تولیدشده به‌عنوان معیار توقف لحاظ شده است)

الگوریتم	J20	J18	J16	J14	J12	J10
VPVGA	۰/۵۷	۰/۴۲	۰/۳۲	۰/۲۲	۰/۰۹	۰/۰۱
الگوریتم FIPS پژوهش حاضر	۰/۶۶	۰/۴۸	۰/۳۸	۰/۳۰	۰/۱۷	۰/۰۶
VPVAIS	۰/۷۰	۰/۵۲	۰/۳۹	۰/۲۰	۰/۰۷	۰/۰۲
LHGA	۰/۸۷	۰/۶۳	۰/۴۴	۰/۳۲	۰/۱۷	۰/۰۶
LCEDA	۱/۲۸	۰/۹۰	۰/۵۹	۰/۴۳	۰/۱۴	۰/۱۲
LCSFLA	۱/۴۰	۰/۹۴	۰/۵۸	۰/۴۶	۰/۲۱	۰/۱۰
EFEA	۱/۶۲	۱/۳۰	۰/۹۱	۰/۷۷	۰/۲۴	۰/۱۴
RSS	۱/۶۴	۱/۲۱	۰/۹۵	۰/۸۹	۰/۶۵	۰/۱۸
AGA	۱/۹۱	۱/۴۳	۱/۱۲	۱/۰۰	۰/۷۳	۰/۲۴
JSA	۶/۷۴	۵/۵۲	۴/۰۷	۲/۶۰	۱/۷۳	۱/۱۶

جدول ۵ مقایسه با سایر الگوریتم‌های پیشنهادی، معیار مقایسه = زمان اجرای برنامه (۵۰۰۰ زمان‌بندی تولید شده به‌عنوان معیار توقف لحاظ شده‌است)

J10	J12	J14	J16	J18	J20	الگوریتم
۰/۰۷	۰/۱۱	۰/۱۴	۰/۱۵	۰/۱۶	۰/۱۷	الگوریتم FIPS پژوهش حاضر ^a
۰/۱۲	۰/۱۳	۰/۱۴	۰/۱۵	۰/۱۶	۰/۱۷	VPVGA ^b
۰/۰۸	۰/۱۰	۰/۱۱	۰/۱۲	۰/۱۳	۰/۱۵	LHGA ^c
۰/۰۷	۰/۰۹	۰/۱۳	۰/۱۵	۰/۱۹	۰/۲۷	LCSFLA ^d
^a T9300 2.5 GHz. ^b Pentium 2.80 GHz. ^c Pentium 3GHz. ^d T7500 2.2 GHz.						

جدول ۶ مقایسه با سایر الگوریتم‌های پیشنهادی، معیار مقایسه: نرخ بهینه (۵۰۰۰ زمان‌بندی تولید شده به‌عنوان معیار توقف لحاظ شده‌است)

J10	J12	J14	J16	J18	J20	الگوریتم
۹۹/۶۳	۹۸/۱۷	۹۴/۵۶	۹۲/۰۰	۸۸/۹۵	۸۵/۷۴	VPVGA
۹۸/۵۱	۹۶/۵۳	۹۲/۹۲	۹۰/۰۰	۸۴/۹۶	۸۰/۳۲	LHGA
۹۷/۹۳	۹۵/۹۸	۹۰/۸۶	۸۶/۴۹	۷۹/۴۴	۷۲/۸۴	LCSFLA
۹۵	۸۷	۷۸	۷۲	۷۰	۶۴	الگوریتم FIPS پژوهش حاضر
۸۵/۶۰	۸۰/۳۰	۶۶/۴۰	۵۴/۷۰	۴۳/۵۰	۳۵/۷۰	JSA

هر فعالیت در جدول (۷) مشخص گردیده‌است. در این جدول d مدت زمان با واحد روز، I_1 تعداد کارگر به نفر، I_2 تعداد استاد کار به نفر و n هزینه‌ی استاد کار به میلیون ریال می‌باشد. روابط پیش‌نیازی بین فعالیت‌ها نیز در جدول (۸) مشخص گردیده‌است. در این مطالعه موردی شرایط زیر حاکم است:

۱- پروژه توسط یک شرکت پیمانکاری انجام خواهد شد که برای اجرای پروژه‌های خود، ده کارگر ساده استخدام نموده‌است و فرض بر این است که کارگر دیگری جذب نمی‌کند (کارگران ساده در هر صورت حقوق ماهیانه خود را دریافت می‌نمایند لذا بایستی حداکثر استفاده از ایشان صورت پذیرد).

۲- کارگران ماهر (استادکار) جزء نیروهای شرکت نیستند و بسته به نیاز فعالیت‌ها به‌صورت روزمزد به‌کار گرفته می‌شوند (دستمزد هر یک از ایشان به‌طور متوسط ۱,۰۰۰,۰۰۰ ریال نفر-روز می‌باشد).

۳- در این پروژه بودجه‌ی کل در نظر گرفته شده برای استادکاران ۵۱۵,۰۰۰,۰۰۰ ریال می‌باشد.

با توجه به قیاس نرخ بهینه در جدول (۶) الگوریتم پیشنهادی FIPS نسبت به سایر الگوریتم‌ها مناسب نمی‌باشد. اما نتایج این الگوریتم نشان می‌دهد که بیشتر راه‌حل‌های یافت شده نزدیک به راه حل بهینه می‌باشند. برای مثال الگوریتم پیشنهادی روی همه‌ی مسائل J10 به‌خوبی عمل کرده‌است. هم‌چنین، این الگوریتم روی ۹۸٪ مسائل J12، ۹۶٪ مسائل J16 و ۹۴٪ مسائل J18 و ۹۰٪ مسائل J20 خوب عمل کرده‌است. در پایان، با توجه به مقایسه‌های صورت گرفته، می‌توان نتیجه گرفت که الگوریتم FIPS پیشنهادی بسیار کارآمد می‌باشد.

مطالعه‌ی موردی

در این بخش، زمان‌بندی یک پروژه‌ی عمرانی (یک ساختمان مسکونی دو طبقه) با استفاده از الگوریتم ارائه شده در این پژوهش انجام می‌شود. در این پروژه برای هر فعالیت حداکثر سه حالت اجرایی در نظر گرفته شده‌است. ساختار شکست کار، زمان و منابع مورد نیاز برای هر یک از حالت‌های اجرایی مربوط به

جدول ۷ اطلاعات فعالیت‌های پروژه‌ی عمرانی مطالعه‌ی موردی

شماره‌ی فعالیت‌ها	حالت اجرایی ۱				حالت اجرایی ۲				حالت اجرایی ۳			
	d	r ₁	r ₂	n	d	r ₁	r ₂	n	d	r ₁	r ₂	n
۱	۱	۳	۱	۱	-	-	-	-	-	-	-	-
۲	۳	۳	۱	۳	-	-	-	-	-	-	-	-
۳	۱	۲	۱	۱	-	-	-	-	-	-	-	-
۴	۱۰	۲	۲	۲۰	۴	۴	۲	۸	۳	۸	۳	۹
۵	۱۲	۳	۵	۶۰	۴	۸	۷	۲۸	۳	۱۰	۷	۲۱
۶	۲	۴	۴	۸	۴	۲	۲	۸	۶	۲	۲	۱۲
۷	۳	۰	۰	۰	-	-	-	-	-	-	-	-
۱۷،۱۸ و ۲۶	۵	۲	۱	۵	۲	۴	۲	۴	۸	۱	۱	۸
۱۸،۹ و ۲۷	۳	۱	۱	۳	۲	۲	۱	۲	۱	۳	۱	۱
۱۹،۱۰ و ۲۸	۲	۴	۱	۲	۳	۲	۱	۳	۵	۱	۱	۵
۲۰،۱۱ و ۲۹	۳	۰	۰	۰	-	-	-	-	-	-	-	-
۲۱،۱۲ و ۳۰	۷	۳	۲	۱۴	۳	۶	۳	۹	۲	۷	۳	۶
۲۲،۱۳ و ۳۱	۷	۳	۲	۱۴	۳	۵	۳	۹	۲	۶	۳	۶
۲۳،۱۴ و ۳۲	۱	۵	۳	۳	۲	۴	۳	۶	۳	۵	۳	۹
۲۴،۱۵ و ۳۳	۳	۰	۰	۰	-	-	-	-	-	-	-	-
۲۵،۱۶ و ۳۴	۱۴	۰	۰	۰	-	-	-	-	-	-	-	-
۳۵	۳	۵	۲	۶	۱	۷	۲	۲	۵	۲	۲	۱۰
۳۶ و ۳۷	۵	۴	۱	۵	۱	۷	۲	۲	۵	۲	۲	۱۰
۳۹،۳۸ و ۴۰	۳	۱	۱	۳	۲	۲	۱	۲	۱	۳	۱	۱
۴۱	۵	۳	۱	۵	۲	۶	۲	۴	۴	۴	۱	۴
۴۲	۳	۰	۰	۰	-	-	-	-	-	-	-	-
۴۳	۳	۲	۱	۳	۱	۳	۱	۱	۴	۱	۱	۴
۴۴،۴۵ و ۴۶	۷	۲	۱	۷	۳	۶	۱	۳	۲	۷	۱	۲
۴۷ و ۴۸	۱۰	۳	۱	۱۰	۵	۶	۲	۱۰	۲	۱	۳	۶
۴۹،۵۰ و ۵۱	۴	۲	۲	۸	۲	۴	۳	۶	۱	۵	۳	۳
۵۲ و ۵۳	۱۰	۲	۱	۱۰	۵	۴	۲	۱۰	۲	۶	۳	۶
۵۴ و ۵۵	۴	۲	۱	۴	۵	۱	۱	۵	۳	۱	۱	۳
۵۸ و ۵۹	۴	۱	۱	۴	۲	۲	۲	۴	۱	۴	۳	۳
۶۰	۱۲	۱	۱	۱۲	۶	۲	۲	۱۲	۴	۳	۲	۸
۶۲،۶۱ و ۶۳	۵	۱	۱	۵	۲	۲	۱	۲	۱	۵	۳	۳
۶۴،۶۵ و ۶۶	۳	۱	۱	۳	۱	۳	۲	۲	۲	۲	۱	۲
۶۷،۶۸ و ۶۹	۵	۲	۲	۱۰	۲	۶	۳	۶	۱	۱۰	۵	۵
۷۰	۵	۵	۲	۱۰	۲	۱۰	۴	۸	۳	۸	۳	۹
۷۱	۵	۵	۲	۱۰	۲	۱۰	۴	۸	۱۰	۱	۲	۱۰
۷۲	۱۵	۴	۲	۳۰	۷	۸	۴	۲۰	۳	۱۰	۶	۱۸

										سفیدکاری و ...)			
۲	۳	۲	۴	۳	۲	۲	۶	۶	۱	۱	۶	۷۳،۷۴ و ۷۵	سفیدکاری طبقه‌ی همکف - طبقه‌ی اول - طبقه‌ی دوم
۲	۱۰	۳	۶	۵	۶	۲	۱۰	۱۰	۳	۱	۱۰	۷۶	سیمان‌کاری طبقه‌ی همکف
۲	۱۰	۳	۶	۵	۶	۲	۱۰	۱۰	۳	۱	۱۰	۷۸، ۷۷ و ۷۹	نصب درب‌های چوبی و فلزی طبقه‌ی همکف - طبقه‌ی اول - طبقه‌ی دوم
۱	۵	۲	۲	۲	۴	۲	۴	۵	۲	۱	۵	۸۰	نصب شیشه‌ها
۲	۵	۳	۶	۸	۱	۱	۸	۴	۳	۲	۸	۸۱	نقاشی طبقه‌ی همکف
۴	۵	۳	۱۲	۱۰	۱	۱	۱۰	۷	۲	۲	۱۴	۸۲ و ۸۳	نقاشی طبقه‌ی اول - طبقه‌ی دوم
۱۰	۹	۶	۶۰	۱۵	۵	۳	۴۵	۲۰	۳	۲	۴۰	۸۴	ساخت و نصب کابینت
۴	۳	۱	۴	۲	۵	۲	۴	۳	۴	۲	۶	۸۵	نصب شیر آلات و لوازم بهداشتی
۴	۱۰	۴	۱۶	۵	۵	۳	۱۵	۶	۳	۲	۱۲	۸۶	آهن‌کشی آسانسور
۲	۶	۴	۸	۳	۵	۳	۹	۴	۳	۲	۸	۸۷	نصب ریل و کابین و راه‌اندازی آسانسور
۴	۴	۲	۸	۳	۶	۴	۱۲	۵	۳	۲	۱۰	۸۸	نصب کلید و پریز و لامپ و تابلوی برق و سایر لوازم برقی
۱۰	۸	۵	۵۰	۱۵	۷	۵	۷۵	۲۰	۵	۳	۶۰	۸۹	نمایشازی خارجی
۱	۱۰	۰	۰	۲	۷	۰	۰	۳	۵	۰	۰	۹۰	رفع نواقص، نظافت

جدول ۸. روابط پیش‌نیازی بین فعالیت‌های پروژه‌ی عمرانی مطالعه‌ی موردی

شماره‌ی فعالیت	پیش‌نیاز	شماره‌ی فعالیت	پیش‌نیاز	شماره‌ی فعالیت	پیش‌نیاز	شماره‌ی فعالیت	پیش‌نیاز
۱	-	۲۴	۲۳	۴۷	۳۶	۷۰	۵۸ و ۶۸
۲	۱	۲۵	۲۳	۴۸	۳۷	۷۱	۵۹ و ۶۹
۳	۲	۲۶	۲۴	۴۹	۳۵	۷۲	۷۱
۴	۳	۲۷	۲۶	۵۰	۳۶	۷۳	۶۴
۵	۴	۲۸	۲۷	۵۱	۳۷	۷۴	۶۵
۶	۵	۲۹	۲۸	۵۲	۴۹	۷۵	۶۶
۷	۶	۳۰	۲۹	۵۳	۵۰	۷۶	۵۵
۸	۷	۳۱	۳۰	۵۴	۵۱	۷۷	۳۸ و ۷۳
۹	۸	۳۲	۳۱	۵۵	۴۴ و ۵۲	۷۸	۳۹ و ۷۴
۱۰	۹	۳۳	۳۲	۵۶	۴۷، ۴۵ و ۵۳	۷۹	۴۰ و ۷۵
۱۱	۱۰	۳۴	۳۲	۵۷	۴۸، ۴۶ و ۵۴	۸۰	۷۳، ۷۴ و ۷۵
۱۲	۱۱	۳۵	۱۶	۵۸	۵۶	۸۱	۷۳
۱۳	۱۲	۳۶	۲۵	۵۹	۵۷	۸۲	۷۴
۱۴	۱۳	۳۷	۳۴	۶۰	۴۱ و ۴۶	۸۳	۷۵
۱۵	۱۴	۳۸	۱۶	۶۱	۶۴	۸۴	۷۳، ۷۴ و ۷۵
۱۶	۱۴	۳۹	۲۵	۶۲	۶۵	۸۵	۷۳، ۷۴ و ۷۵
۱۷	۱۵	۴۰	۳۴	۶۳	۶۶	۸۶	۶۵، ۶۴ و ۶۶
۱۸	۱۷	۴۱	۳۳	۶۴	۵۵	۸۷	۸۶
۱۹	۱۸	۴۲	۴۱	۶۵	۵۶	۸۸	۸۲، ۸۱ و ۸۳
۲۰	۱۹	۴۳	۴۰ و ۴۲	۶۶	۵۷	۸۹	۸۸
۲۱	۲۰	۴۴	۳۵	۶۷	۶۱	۹۰	۸۹
۲۲	۲۱	۴۵	۳۶	۶۸	۶۲		
۲۳	۲۲	۴۶	۳۷	۶۹	۶۳		

همین دلیل در نظر گرفته نشده‌است. با توجه به فرضیات و محدودیت‌های فوق، الگوریتم ارائه‌شده در این پژوهش، فعالیت‌های پروژه را به‌گونه‌ای زمان‌بندی

در مورد مصالح، با توجه به این‌که تمامی حالت‌های اجرایی یک فعالیت، میزان مصالح مصرفی یکسانی دارند این موضوع در جواب بهینه تأثیرگذار نخواهد بود و به

می‌نماید که زمان پروژه حداقل گردد. لذا، خروجی این الگوریتم شامل موارد زیر است:

الف) انتخاب یک حالت اجرایی مناسب برای هر فعالیت (برای این منظور بایستی از حداکثر بودجه‌ی کارگران ماهر استفاده گردد تا زمان پروژه حداقل شود)
 ب) اولویت‌بندی برای تخصیص منابع کارگری ساده (در صورتی که اجرای هم‌زمان فعالیت‌ها با توجه به محدودیت‌های پیش‌نیازی امکان‌پذیر باشد)، این اولویت‌بندی به‌گونه‌ای صورت می‌پذیرد تا زمان پروژه حداقل گردد. برنامه‌ی زمان‌بندی پروژه‌ی مطالعه‌ی موردی فوق، با استفاده از الگوریتم ارائه‌شده‌ی این پژوهش محاسبه گردید و خروجی آن در جدول (۹) ارائه شده‌است. در این جدول، زمان شروع هر فعالیت و حالت اجرایی منتخب آن فعالیت نمایش داده شده‌است. با توجه به ردیف آخر جدول (۹)، در برنامه‌ی زمان‌بندی خروجی سعی شده تا از حداکثر ظرفیت منابع پولی استادکاران (۵۱۳,۰۰۰,۰۰۰ ریال از

بحث و نتیجه‌گیری

در این مقاله الگوریتم FIPS کارآمدی برای حل MRCPSP پیشنهاد شد که در آن دو جایگاه برای هر ذره (نماینده‌ی یک راه‌حل MRCPSP) در نظر گرفته شد. جایگاه اول نشان‌دهنده‌ی اولویت فعالیت‌ها برای زمان‌بندی بود و جایگاه دوم لیست حالات اجرایی مرتبط را نمایش می‌داد. برای رمزگشایی نیز، از روش تولید زمان‌بندی سری چندحالتی کمک گرفته شد. در این مطالعه هم‌چنین تابع تناسب جدیدی پیشنهاد شد که علاوه بر کاهش زمان محاسبات برنامه، انحراف متوسط را نیز کاهش داد. برای آزمایش الگوریتم پیشنهادی، مجموعه‌های مشهور کتابخانه‌ی مسائل زمان‌بندی پروژه-ها (PSBLIB) مورد استفاده قرار گرفتند. مقایسه‌های انجام‌شده نشان داد که الگوریتم FIPS پیشنهادی بسیار کارآمد می‌باشد.

مراجع

1. Chen, P. and Weng, H., "A two-phase GA model for resource-constrained project scheduling", *Automation in Construction*, Vol. 28, pp. 485-498, (2009).
2. Zhang, H., "Ant Colony Optimization for Multimode Resource-Constrained Project Scheduling", *American Society of Civil Engineers*, Vol. 28, pp. 150-159, (2012).
3. Sprecher, A. and Drexler, A., "Solving multi-mode resource-constrained project scheduling problems by a simple, general and powerful sequencing algorithm", *European Journal of Operational Research*, Vol. 107, pp. 431-450, (1998).
4. Glover, F. and Greenberg H.J., "New Approaches for Heuristic Search: A Bilateral Linkage with Artificial Intelligence", *European Journal of Operational Research*, Vol. 39, pp. 119-130, (1989).
5. Jozefowska, J. Mika, M. Rozycki, R. Waligora, G. and Weglarz, J., "Simulated annealing for multi-mode resource-constrained project scheduling", *Annals of Operations Research*, Vol. 102, pp. 137-155, (2001).
6. Zhang, H. Tom, C.M. and Li, H., "Multimode Project Scheduling Based on Particle Swarm Optimization", *Computer-Aided Civil and Infrastructure Engineering*, Vol. 21, pp. 93-103, (2006).
7. Lova, A. Tormos, P. Cervantes, M. and Barber, F., "An efficient hybrid genetic algorithm for scheduling projects with resource constraints and multiple execution modes", *International Journal of Production Economics*, Vol. 117 (2), pp. 302-316, (2009).

8. Petegheme, V.V. and Vanhoucke, M., "An artificial immune system for the multi-mode resource-constrained project scheduling problem", in: *EvoCOP*, Springer, Berlin, Tubingen, Germany, pp. 100-107, (2009).
9. Petegheme, V.V. and Vanhoucke, M., "A genetic algorithm for the preemptive and non-preemptive multi-mode resource-constrained project scheduling problem", *European Journal of Operational Research*, Vol. 201, pp. 409-418, (2010).
10. Elloumi, S. and Fortemps, P., "A hybrid rank-based evolutionary algorithm applied to multi-mode resource-constrained project scheduling problem", *European Journal of Operational Research*, Vol. 205, pp. 31-41, (2010).
11. Wang, L. and Fang, C. "An effective shuffled frog-leaping algorithm for multi-mode resource-constrained project scheduling problem", *Information Sciences*, Vol. 181, pp. 4804-4822, (2011).
12. Wang, L. and Fang, C., "An effective estimation of distribution algorithm for the multi-mode resource-constrained project scheduling problem", *Computers and Operations Research*, Vol. 39, pp. 449-460, (2012).
13. Lee, K. and El-Sharkawi, M., "Modern heuristic optimization techniques", Hoboken, New Jersey, John Wiley and Sons, pp. 50-157, (2008).
14. Damak, N. Jarboui, B. Siarry, P. and Loukil, T., "Differential evolution for solving multi-mode resource constrained project scheduling problems", *Computers and Operations Research*, Vol. 36, pp. 2653-2659, (2009).
15. Mendes, R. Kennedy, J. and Neves, J., "The Fully Informed Particle Swarm: Simpler, Maybe Better", *IEEE Transactions on Evolutionary Computation*, Vol. 14, pp. 204-210, (2004).
16. Sprecher, A. Hartmann, S. and Drexl, A., "An exact algorithm for project scheduling with multiple modes", *OR Spektrum: Organ der Deutschen Gesellschaft für Operations Research*, Vol. 19(3), pp. 195-203, (1997).
17. Kolisch, R., "Serial and parallel resource-constrained project scheduling methods revisited: Theory and computation", *European Journal of Operational Research*, Vol. 43, pp. 23-40, (1996).
18. Tormos, P. and Lova, A., "A competitive heuristic solution technique for resource-constrained project scheduling", *Annals of Operations Research*, Vol. 102, pp. 65-81, (2001).
19. Ranjbar, M. Reyck, B. and De Kianfar, F., "A hybrid scatter search for the discrete time/resource trade-off problem in project scheduling", *European Journal of Operational Research*, Vol. 193(1), pp. 35-48, (2009).
20. Alcaraz, J. Maroto, C. and Ruiz, R., "Solving the multi-mode resource-constrained project scheduling problem with genetic algorithms", *Journal of the Operational Research Society*, Vol. 54, pp. 614-626, (2003).